

## تولید بیودیزل از روغن ضایعات ماهی به کمک ترکیب همزن مکانیکی و ریزموج

ندا یاری<sup>۱</sup>، مصطفی مصطفایی<sup>۲\*</sup>، لیلا ندرلو<sup>۳</sup> و سید محمد صفوی الدین اردبیلی<sup>۴</sup>

۱- دانشجوی کارشناسی ارشد، مهندسی مکانیک بیوسیستم، دانشگاه رازی، کرمانشاه، yarineda527@yahoo.com

۲- استادیار، مهندسی مکانیک بیوسیستم، دانشگاه رازی، کرمانشاه، b.mostafaei@razi.ac.ir

۳- استادیار، مهندسی مکانیک بیوسیستم، دانشگاه رازی، کرمانشاه، lnaderloo@gmail.com

۴- استادیار، مهندسی بیوسیستم، دانشکده کشاورزی، دانشگاه شهید چمران اهواز، m.safieddin@scu.ac.ir

\* نویسنده مخاطب

(تاریخ دریافت: ۹۶/۶/۲۷، دریافت آخرین اصلاحات: ۹۶/۸/۱۴، پذیرش: ۹۶/۸/۱۵)

چکیده: در تحقیق حاضر، هدف تولید بیودیزل از روغن ضایعات ماهی و مтанول و استفاده از ترکیب همزن و ریزموج به عنوان تکنیکی برای سرعت بخشیدن به این امر است. در انجام این تحقیق از سامانه ریزموج استفاده شد که شامل منبع ریزموج، همزن، لوله مارپیچی و دکانتور است. به کمک این سامانه اثر عوامل نسبت مولی الكل به روغن (۴ به ۱، ۶ به ۱ و ۸ به ۱)، غلظت کاتالیزور (۰/۰۵، ۰/۱ و ۰/۱۵ درصد وزنی روغن)، زمان همزنی (۵، ۱۵ و ۲۵ دقیقه) و زمان مایکروبویو (۰/۵ و ۱/۵ دقیقه) بر روی درصد تبدیل اسیدهای چرب به متیل استر بررسی شد. برای تجزیه و تحلیل نتایج از روش سطح پاسخ (RSM) و طرح باکس بنکن (Box Behnken) در نرم افزار Exeprt Deisign استفاده شد. پس از تحلیل داده‌ها و بهینه‌سازی واکنش تولید بیودیزل مشخص شد که بیشترین درصد تبدیل بیودیزل (۹۲/۶۲) در غلظت کاتالیزور ۱/۱۳ درصد، زمان واکنش ۲۴/۶۱ دقیقه، نسبت مولی الكل به روغن ۵/۹۱ و زمان مایکروبویو ۰/۵ دقیقه به دست آمد. مدل رگرسیونی بین متغیرهای مستقل و متغیرهای وابسته (درصد تبدیل) به صورت معادله درجه دوم با ضریب تبیین  $R^2 = ۰/۹۹۵۳$  به دست آمد.

کلیدواژگان: بیودیزل، روغن ضایعات ماهی، ترانس استریفیکاسیون، ریزموج، روش سطح پاسخ

### مقدمه

در دهه‌های اخیر، جهان وضعیت پرمخاطره‌ای را از لحاظ مصرف سوخت‌های فسیلی، نظیر ذغال سنگ، نفت، گاز طبیعی و مشتقان نفتی، همچون بنزین و گازوییل، تجربه کرده است [۱]. به طوری که ۸۰ درصد نیاز انرژی جهان از طریق همین منابع فسیلی تأمین می‌شود که ۵۸ درصد آن به تنها یی در بخش حمل و نقل مورد استفاده قرار می‌گیرد [۲]. بیودیزل (به عبارت دیگر آلکیل استرهای اسید چرب)، که جایگزین سوخت دیزل شده است، نوع دیگری از سوخت محترق است که می‌تواند به عنوان سوخت جایگزین برای موتورها استفاده شود که از منابع تجدیدپذیر مانند روغن‌های گیاهی و چربی‌هایی که عمدهاً توسط تری‌گلیسریدها تشکیل شده‌اند تولید می‌شود [۳-۵]. مزایای اصلی استفاده از بیودیزل عبارت اند از: تجدیدپذیری، مقطع انتشار کم‌تر، نقطه اشتعال بالا، روانکاری عالی و عدد ستان برتر آن [۶-۷]. با توجه به شباهت فرمول شیمیایی بیودیزل حاصل از روغن‌های گیاهی و چربی‌های حیوانی با سوخت دیزل، بسیاری از محققان در حال مطالعه به کارگیری بیودیزل به عنوان سوخت موتور دیزل اند [۸]. مواد اولیه غیرخوارکی مانند ضایعات چربی حیوانی به تازگی به عنوان جایگزین‌های روغن‌های گیاهی در تولید بیودیزل افزایش محبوبیت داشته‌اند [۹]. گرانروی بالا، ترکیب اسید و مقدار اسید چرب آزاد در این نوع روغن‌ها موجب بروز مشکلاتی مانند تهشیش‌شدن کربن و تشکیل صمغ در طول احتراق مستقیم در موتورها می‌شود [۸]. به منظور تولید سوخت

بیودیزل، مولکول‌های روغن به اجزای ساده‌تری شکسته می‌شود تا قابل استفاده در موتور باشد. برای تولید بیودیزل سه روش شناخته شده وجود دارد: میکرومولسیون<sup>۱</sup>، پیرولیز<sup>۲</sup> و ترانس‌استریفیکاسیون<sup>۳</sup> [۱۰] از بین این روش‌ها، ترانس‌استریفیکاسیون کاربرد بیشتری در تحقیقات و تولید صنعتی بیودیزل دارد. از واکنش ترانس‌استریفیکاسیون، علاوه‌بر تولید آکلیل استر، بیشتر به عنوان روشی برای کاهش گرانروی چربی‌های حیوانی و روغن‌های گیاهی استفاده می‌شود. در این روش، روغن یا تری‌گلیسرید با الكل در حضور کاتالیزور مناسبی واکنش می‌دهد [۱۱-۱۳]. الكل‌های مناسب برای انجام واکنش ترانس‌استریفیکاسیون متنالول، اتانول، پروپانول و بوتانول اند [۱۴، ۱۵]. ترانس‌استریفیکاسیون را می‌توان به دو دسته طبقه‌بندی کرد: ترانس‌استریفیکاسیون با کاتالیزور، ترانس‌استریفیکاسیون بدون کاتالیزور.

روش ترانس‌استریفیکاسیون با کاتالیزور، با توجه به نوع کاتالیزور به کاررفته، می‌تواند به همگن<sup>۴</sup>، ناهمگن<sup>۵</sup> و کاتالیزور آنزیمی<sup>۶</sup> گروه‌بندی شود. ترانس‌استریفیکاسیون بدون کاتالیزور (فرایند فوق بحرانی)<sup>۷</sup> برای کاهش مسایل مهم در فرایند تولید و پایین‌آوردن هزینه تولید به کار می‌رود [۱۶، ۱۷]. استفاده از کاتالیزور همگن قلایی متداول‌ترین روش تولید بیودیزل است. به منظور کاهش زمان عملکرد راکتور و حصول بالاترین بازده ممکن، از روشن‌های کمک‌کننده به ترانس‌استریفیکاسیون (ATT)<sup>۸</sup> استفاده می‌شود. استفاده از ATT مدت زمان واکنش را کاهش داده (به عنوان مثال غلظت کاتالیزور کمتر و نسبت الكل به چربی پایین‌تر) و بنابراین هزینه‌های کلی تولید را کم می‌کند [۹]. ترانس‌استریفیکاسیون به طور کلی در یک راکتور ناپیوسته با استفاده از گرمایش الکتریکی معمولی و همزدن مکانیکی انجام می‌شود. روش متداول مورد استفاده در این نوع راکتور به بیش از یک ساعت انرژی الکتریکی برای گرمایش و همزنی [۱۸] و حدود ۳ تا ۵ ساعت برای بررسی‌ها و جداسازی فاز نیاز دارد. مشکل انتقال انرژی و جرم مانع افزایش سرعت و بازده واکنش است [۱۹]. از این رو دو نوع ATT، که معمولاً در تولید بیودیزل از روغن‌های گیاهی و چربی‌های حیوانی استفاده می‌شوند، عبارت‌اند از: تکنیک کمکی فراصوت<sup>۹</sup> (UA) و تکنیک کمکی ریزموج<sup>۱۰</sup> (MA) [۹]. استفاده از فناوری‌ها دارای مزایای بالابردن سرعت واکنش و بهترکردن فرایند جداسازی در مقایسه با روش معمولی‌اند. این فناوری‌های پیشرفت‌پتانسیل قابل توجهی در بالابردن فرایند تولید بیودیزل و کاهش زمان و هزینه تولید دارد [۱۸].

ناحیه تابش ریزموج بین تابش مادون قرمز و امواج رادیویی در طیف الکترومغناطیسی قرار دارد. ریزموج طول موج‌هایی از ۱mm تا ۱m مربوط به فرکانس‌های بین GHz /۰.۳ و GHz /۳۰۰ دارد [۲۰]. در خلال تابش ریزموج، پیوندها نه تشکیل می‌شوند و نه شکسته می‌شوند، اما انرژی به سرعت به نمونه منتقل می‌شود [۲۱]. انتقال حرارت در سامانه ریزموج به منظور افزایش مرکز حرارتی و نیز سرعت بخشیدن به گرمشدن مواد واکنشی معمولاً از طریق فرایندهای قطبش شامل چرخش دوقطبی، انتقال یونی و مکانیزم قطبش سطحی صورت می‌گیرد [۲۲، ۲۳]. تابش ریزموج می‌تواند به عنوان منبع حرارتی در طول واکنش ترانس‌استریفیکاسیون استفاده شده و این واکنش در دقیقه یا ثانیه انجام گیرد. خواص دی‌الکتریک ریزموج به طور قابل توجهی به درجه حرارت، فرکانس و کاتالیزور بستگی دارد [۲۱]. در واحد تولید بیودیزل، به کمک ریزموج، واکنش‌دهنده‌ها مانند روغن گیاهی، الكل و کاتالیزور توسط دستگاه همزن مناسب مخلوط می‌شوند و توسط منبع گرمایی ریزموج حرارت داده می‌شوند. واکنش‌دهنده‌ها به مدت زمان نیاز واکنش در معرض تابش ریزموج قرار می‌گیرند. بعد از آن به محصولات ترانس‌استریفیکاسیون اجازه جدایی فازها و تهشیینی داده می‌شود. جدایی فاز بیودیزل و گلیسیرین ۳۰ تا ۶۰ دقیقه طول

1. Micro-emulsions

2. Pyrolysis

3. Transesterification

4. Homogeneous

5. Heterogeneous

6. Enzymatically-Catalyzed

7. Supercritical Process

8. Assisted Transesterification Techniques (ATT)

9. Ultrasound-assisted Technique

10. Microwave-assisted Technique

می‌کشد. بعد از آن بیودیزل خام در معرض شستشوی آب قرار می‌گیرد تا ناخالصی‌ها حذف شوند. زمان واکنش و تنظیم زمان مورد نیاز برای تهنشینی در این روش کم بوده و از این رو هزینه تولید به طور قابل توجهی کاهش می‌یابد. خواص سوخت تولیدشده توسط این روش شبیه به بیودیزل تولیدشده توسط روش معمولی است [۱۸].

پریامبود و همکاران در تحقیقشان شرایط بهینه را به صورت زمان واکنش ۴۰ تا ۱۸۰ ثانیه، دمای واکنش حدود ۸۰ °C نسبت ۶ مтанول به روغن و توان خروجی ریزموج ۱۰۰۰ وات گزارش کردند. در این شرایط بازده تولید ۹۹ درصد و ۹۳ درصد برای روغن خوارکی و پسماند روغن خوارکی به دست آمد. در این مطالعه، سوخت بیودیزل به دست آمده به عنوان جایگزین سوخت دیزل مطرح می‌شود که می‌تواند بدون ایجاد تغییر زیاد در موتورها با توجه به شرایط آن مورد استفاده قرار گیرد [۲۴].

زارع و همکاران در مطالعه‌ای یک مایکروویو خانگی را به عنوان یک راکتور تولید بیودیزل انتخاب کرد و اثر تابش ریزموج روی ترانس استریفیکاسیون ضایعات روغن خانگی (WCO)<sup>1</sup> در تولید بیودیزل را بررسی کردند. ترانس استریفیکاسیون WCO در حضور مтанول به عنوان الكل انجام شد؛ از نسبت مولی ۱:۶ الكل به روغن و ۱ درصد وزنی پتانسیم هیدروکسید، به عنوان کاتالیزور، استفاده شد. واکنش در زمان‌های واکنش مختلف (۱، ۲ و ۳ دقیقه) انجام شد. نتایج نشان داد که در مقایسه با روش حرارت معمولی استفاده از ریزموج می‌تواند در به دست آمدن بازده بالای مตیل استرهای اسید چرب (بیویزل) به طور موثر عمل کند، زمان واکنش را کاهش داده و فرایند جداسازی را بهبود بخشد [۲۵].

در میان منابع انرژی تجدیدپذیر، پتانسیل برای انرژی سوخت‌های زیستی در ایران فراوان است. دولت ایران توجه عمده‌ای برای استفاده از انرژی‌های تجدیدپذیر، بهویژه سوخت‌های زیستی، دارد. در طول سال‌های اخیر، از ضایعات ماهی به صورت بهینه استفاده نمی‌شده است. تولید بیودیزل، کمپوست کود، تولید بیوگاز و سوزاندن ضایعات ماهی برای تولید انرژی، راه‌های مختلف استفاده از ضایعات ماهی در جهان هستند. افزایش تقاضا برای سوخت‌های فسیلی در جهان، کاهش منابع سوخت‌های فسیلی و مشکلات آلودگی از عوامل اصلی افزایش استفاده از منابع تجدیدپذیر جایگزین است. همچنین، یحیایی و همکاران گزارش دادند که بیودیزل تولیدی از روغن ضایعات ماهی این پتانسیل را دارد که جایگزین ۵ درصد از کل مصرف سوخت دیزل در بخش حمل و نقل ایران شود [۲۶].

روغن ماهی در صنعت فرآوری ماهی به عنوان یک محصول جانبی در حجم بالایی تولید می‌شود. این محصول دارای ارزش گرمایی مشابه نفت خام و یک منبع انرژی تجدیدپذیر است. مطالعات متعددی برای استفاده از روغن ماهی به عنوان سوخت برای موتورهای دیزل انجام شده است. در مقایسه با گازوییل شماره ۶، روغن ماهی مقدار پایین‌تری از کربن و مقدار بالاتری هیدروژن دارد. روغن ماهی، همچنین، نقطه اشتعال بالاتر اما گرانروی سینماتیکی پایین‌تری دارد [۲۷]. طول زنجیره کربنی روغن ماهی اغلب بیشتر از روغن‌های گیاهی است که از اسید چرب، اسید اولئیک، اسید لینولئیک و اسید لینولیک تشکیل شده است [۲۸]. تولید بیودیزل از روغن ضایعات ماهی قیمت مواد اولیه و مشکلات زیست محیطی را کاهش می‌دهد. با این حال، به دلیل مقدار ناخالصی‌هایی مانند آب و اسید چرب آزاد، روغن ضایعات باید قبل از واکنش مورد بررسی قرار گیرد. برخی از محققان روغن ضایعات ماهی را با روغن پسماند مخلوط می‌کنند تا بازده بالاتری به دست آید [۲۹، ۳۰].

در مطالعه‌ای، روغن استخراج شده از قطعات ماهی دور ریز برای تولید بیودیزل با کیفیت بالا مورد استفاده قرار گرفت. ترانس استریفیکاسیون روغن ضایعات ماهی با مтанول، با استفاده از سدیم هیدروکسید ( $\text{CH}_3\text{ONa}$ ) به عنوان کاتالیزور همگن، تحت شرایط عملیاتی متوسط، بیش از ۹۸ درصد بیودیزل خالص نتیجه داد [۳۱].

هدف تحقیق حاضر تولید بیودیزل از روغن پسماند ماهی با استفاده از ترکیب همزن مکانیکی و فناوری ریزموج است. برای بررسی درصد بازده واکنش ترانس استریفیکاسیون اثر متغیرهای مستقلی همچون نسبت مولی الكل به روغن، غلظت

1. Waste Cooking Oil

کاتالیزور، زمان همنزی و زمان تابش ریزموج مورد ارزیابی قرار گرفت. برای تجزیه و تحلیل نتایج به دست آمده از روش سطح پاسخ (RSM)<sup>۱</sup> و طرح باکس بکن<sup>۲</sup> در نرم‌افزار Design Expert استفاده شد.

## مواد و روش‌ها

برای تولید بیودیزل به روش ترانس استریفیکاسیون با کاتالیزور بازی از روغن ضایعات ماهی استفاده شد. این روغن از ماهی فروشی‌های مازندران، که معمولاً برای مصارف غیرخوراکی به صورت دستی و سنتی تهیه می‌شود، خریداری شد. روغن مورد استفاده در این تحقیق دارای چگالی  $0.89 \text{ gr/cm}^3$  است. روغن مورد استفاده، قبل از انجام واکنش‌های شیمیایی، به منظور حذف ناخالصی‌هایی نظیر آب و تکه‌های مواد، باید مورد فرآوری و تصفیه قرار گیرد. برای تصفیه روغن، ابتدا چندین مرتبه روغن از صافی پارچه‌ای عبور داده شد تا مقداری از مواد آن گرفته شود. سپس، یک روز در داخل ظرف‌هایی قرار داده شد تا مواد آن تهنشین شود و درنهایت از صافی کاغذی برای تصفیه نهایی استفاده شد و بدین ترتیب روغن تمیز و آماده شد. برای تعیین درصد آب، ابتدا مقداری روغن داخل سه ظرف شیشه‌ای ریخته و توزیں می‌شود. سپس هر سه نمونه به مدت ۲ ساعت در آون با دمای  $103/5$  درجه سلسیوس قرار داده شد. نمونه‌ها بعد از زمان مذکور از آون خارج شده و مجدداً توزیں شد. مقایسه توزیعنها نشان‌دهنده ناچیزی مقدار آب موجود در روغن بود.

برای تعیین اسیدیته روغن و به دست آوردن نقطه پایانی تیتراسیون، از روش شناساگر فنول فتالئین استفاده شد، به این ترتیب که مقدار مشخصی در حدود  $1 \text{ گرم}$  روغن در  $10 \text{ میلی لیتر}$  الكل پروپانول حل و سه قطره فنول فتالئین به آن اضافه شد. محلول پتابسیم هیدروکسید الكلی با غلظت  $1/0$  مول در لیتر، به کمک بورت  $50 \text{ میلی لیتری}$ ، قطره‌قطره به آن اضافه شد. این کار همراه با هم‌زدن محلول تا تغییر رنگ خنثی (ثابت‌ماندن رنگ ارغوانی در حدود  $15$  ثانیه) ادامه یافت. با سه بار تکرار آزمایش، میانگین محلول پ TAS مصرفی در رابطه‌های زیر قرار گرفته، عدد اسیدی و اسیدیته روغن محاسبه شد.

$$AV = \frac{56.1 \times V \times C}{m} \quad (1)$$

$$A = \frac{282 \times AV}{561} \quad (2)$$

که در آن‌ها،  $AV$  عدد اسیدی روغن (mg KOH/g Oil)،  $A$  اسیدیته روغن (%)،  $V$  میانگین حجم مصرفی محلول پتابسیم هیدروکسید (ml)،  $C$  غلظت محلول پتابسیم هیدروکسید (mol/l) و  $m$  وزن نمونه روغن (g) است. برای انجام کامل واکنش ترانس استریفیکاسیون مقدار مناسب درصد آب و اسیدیته روغن به ترتیب باید زیر  $1$  و  $3$  درصد باشد [۳۳، ۳۲]. در این تحقیق، مقادیر میانگین درصد آب و میانگین اسیدیته روغن پس از فرآوری و تصفیه اولیه روغن به ترتیب  $0.9$  و  $2/5$  درصد بود.

الکل و کاتالیزور مورد استفاده در این تحقیق متanol ( $\text{CH}_3\text{OH}$ ) و هیدروکسید پتابسیم (KOH) با درصد خلوص  $99$  از شرکت اطلس‌شیمی تهیه شد. به منظور افزایش انحلال و واکنش‌پذیری کاتالیزور، محلول متوكسید (مخلوط هیدروکسید پتابسیم و متanol) با درصد وزنی کاتالیزور و نسبت مولی الكل به روغن مناسب با هر آزمایش، قبل از انجام هر یک از آزمایش‌ها، به صورت جداگانه تهیه شد. برای اینکه بازده انحلال بالا برود از یک همنز مغناطیسی استفاده شد. در این تحقیق، از همنز مغناطیسی مدل MR 3001 Sاخت شرکت Heidolph آلمان برای حل کردن هیدروکسید پتابسیم در متanol استفاده شد.

همچنین، در این پژوهش از یک دستگاه اجاق ریزموج پاناسونیک مدل WW NN-ST342 ساخت کشور کره به عنوان منبع تولیدکننده امواج استفاده شد. برای دستیابی به هدف این پژوهه، از یک پیچه<sup>۳</sup>، که در محفظه اجاق جانمایی شده، استفاده شد. قطر این پیچه  $21$  سانتی‌متر بوده و طول کلی شلنگ آن  $185$  سانتی‌متر است. در انجام این پژوهش از شلنگ تفلون با توجه به انعطاف‌پذیری و نشکن‌بودن آن استفاده شد. شلنگ مورد استفاده دارای قطر درونی  $6$  میلی‌متر و ضخامت

1. Response Surface Methodology

2. Box Behnken

3. coil reactor

جداره ۱ میلی‌متر است. درگاهای نیز برای ورودی و خروجی راکتور به محفظه اجاق با سوراخ کردن پوسته محفظه درنظر گرفته شد. تصویری از طرحواره آزمایش‌ها در شکل ۱ دیده می‌شود.



Figure 1- The experimental set-up used in this study for biodiesel producing

شکل ۱- طرحواره مورد استفاده در این تحقیق برای تولید بیو دیزل

طی واکنش ترانس استریفیکاسیون برای تبدیل تری گلیسیریدها به بیو دیزل، گلیسروول، مونو و دی آسیل گلیسروول شکل می‌گیرد که مقادیر کمی از آن‌ها می‌تواند در بیو دیزل نهایی باقی بماند. علاوه‌بر این، تری گلیسیریدهای واکنش‌نداده، گلیسیرین جدانشده، اسیدهای چرب آزاد موجود در روغن، الكل اضافی و کاتالیزور می‌توانند در محصول نهایی (بیو دیزل) ناخالصی ایجاد کنند؛ در نتیجه لازم است بیو دیزل تولیدی آنالیز شود. نمونه‌گیری توسط سمپلر<sup>۱</sup> ۱ میلی‌لیتری انجام شد. از آنجا که بعد از نمونه‌گیری واکنش ممکن است ادامه یابد، بایستی بالفاصله بعد از تهیه نمونه واکنش به‌طور کامل متوقف شود. به همین منظور، از اسید برای خنثی‌سازی استفاده شد؛ بدین ترتیب که مقدار اسید سولفوریک مشخصی را به هر نمونه تزریق کرده تا واکنش متوقف شود. سپس، نمونه‌ها در دستگاه سانتی‌فیوژ قرار گرفتند تا بیو دیزل و گلیسیرین به‌طور کامل دوفازی شوند. نمونه‌ای از بیو دیزل تولید شده در شکل ۲ نشان داده شده است.

سپس، فاز بیو دیزل توسط سمپلر جدا شده و توزین می‌شد. از فاز بیو دیزل جدا شده مقداری در حدود ۱/۰ گرم جدا کرده و ۱ سی سی محلول رقیق شده استاندارد داخلی در حلال (۱۰ میلی‌گرم در سی سی) به آن اضافه شد. محلوط پس از تکان داده شدن به ویال<sup>۲</sup> مخصوص تزریق دستگاه کروماتوگرافی گازی مستقر در آزمایشگاه مرکزی دانشگاه رازی منتقل شد. تصویر دستگاه کروماتوگرافی مورد استفاده در شکل ۳ آورده شده است. استاندارد داخلی استفاده شده در تحقیق حاضر (C<sub>12</sub>) و حلال مورد استفاده ان-هگزان (n-He) است. محتوای متیل استر موجود در نمونه بیو دیزل (C) با استفاده از رابطه زیر محاسبه شد.

1. sampler  
2. vial

$$C = \frac{\sum A - A_{IS}}{A_{IS}} \times \frac{M_{IS}}{M} \times 100 \quad (3)$$

که در آن  $\sum A$  مجموع سطح زیر پیک مربوط به اسیدهای چرب  $C_{24}$  تا  $C_6$  (uV\*sec)،  $A_{IS}$  سطح زیر پیک متناظر با استاندارد داخلی (متیل هپتا دکانوات) (uV\*sec)،  $M_{IS}$  جرم داخلی استاندارد استفاده شده (mg) و  $M$  جرم نمونه بیو دیزل (mg) است. شکل ۴ نمونه‌ای از توزیع<sup>۱</sup> اسیدهای چرب حاصل از نتایج GC را نشان می‌دهد.



Figure 2- A sample of synthesized biodiesel

شکل ۲- نمونه‌ای از بیو دیزل تولید شده



Figure 3- The chromatography apparatus used in this research

شکل ۳- دستگاه کروماتوگرافی استفاده شده در این تحقیق

1. Profile

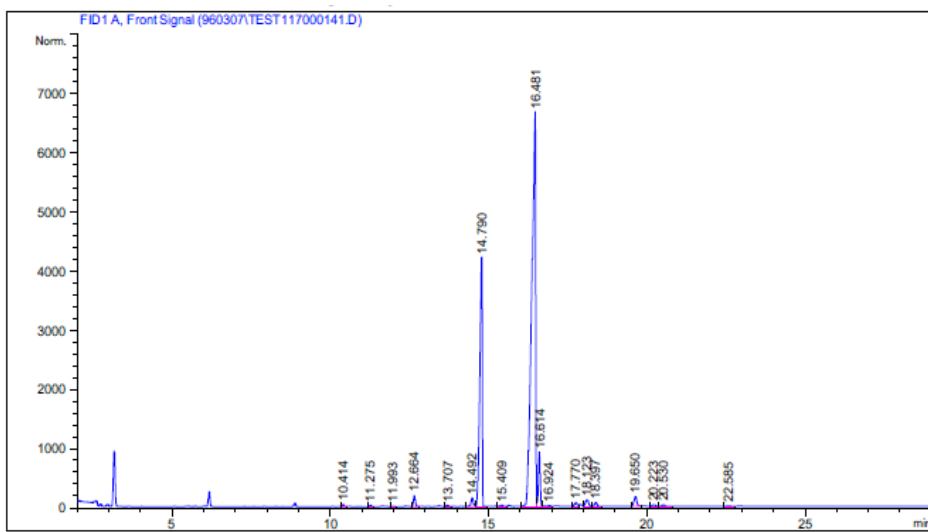


Figure 4- An example of fatty acids profile

شکل ۴- نمونه ای از توزیع اسیدهای چرب

در این پژوهش، به منظور بهینه‌سازی واکنش تولید بیودیزل از روش باکس بنکن استفاده شده است. تعداد آزمایش‌های انجام شده ۲۹ عدد بوده که ۳ تکرار برای نقطه مرکزی در نظر گرفته شده است. به منظور مدل کردن واکنش تولید بیودیزل بنا به پیشنهاد نرم‌افزار (Design Expert 10) و با توجه به ضریب تبیین ( $R^2$ ) بالا، از تابع چندجمله‌ای درجه ۲ استفاده شد. شکل کلی یک تابع چندجمله‌ای درجه ۲ به صورت رابطه (۴) است:

$$Y = \beta_0 + \sum_{i=1}^k \beta_i X_i + \sum_{i=1}^k \beta_{ii} X_i^2 + \sum_{i=1}^k \sum_{j=i+1}^k \beta_{ij} X_i X_j + \varepsilon \quad (4)$$

که در آن  $Y$  پاسخ (متغیر وابسته)،  $\beta_0$  ضریب ثابت،  $\beta_i$  به ترتیب ضرایب خطی، مربعی و اثر متقابل پارامترها،  $X_i$  و  $X_j$  متغیرهای مستقل و  $\varepsilon$  خطای پیش‌بینی نشده است.

## نتیجه‌گیری و بحث

مدل رگرسیونی بین متغیرهای مستقل و متغیر وابسته (درصد تبدیل) به صورت معادله درجه ۲ (رابطه (۵)) با  $R^2 = 0.9953$  به دست آمد. با استفاده از این مدل می‌توان مقادیر بازده واکنش تحت شرایط مختلف کاری را پیش‌بینی و تشخیص داد. شکل ۵، تطابق نزدیک بین نتایج به دست آمده با روش تجربی و مقادیر پیش‌بینی شده توسط مدل را با ضریب تبیین بالای  $R^2 = 0.9953$  نشان می‌دهد.

$$\begin{aligned} Yield(\%) = & +14.04141 - 0.12266T + 33.72124R - 61.97482M + 6.41900W - 0.096275TR \\ & - 0.19439TM + 0.65405TW + 3.48000MW + 0.020707T^2 - 2.94728R^2 \\ & + 16.85199M^2 - 11.24519W^2 \end{aligned} \quad (5)$$

که در آن  $T$  بیانگر زمان همزی،  $R$  بیانگر نسبت مولی،  $M$  بیانگر ریزموچ و  $W$  بیانگر غلظت کاتالیزور است. علامت مثبت در پیش روی هر کدام از جمله‌ها نشان‌دهنده تأثیر افزایشی و علامت منفی نشان‌دهنده تأثیر کاهشی متغیر (ها) بر روی پاسخ است.

در جدول ۱، تحلیل واریانس مدل رگرسیونی درجه دوم برای درصد تبدیل بیودیزل آورده شده است. این جدول نشان می‌دهد که مدل پیشنهادی در پیش‌بینی روند تولید بیودیزل با متغیرهای مستقل انتخابی معنی‌دار است.

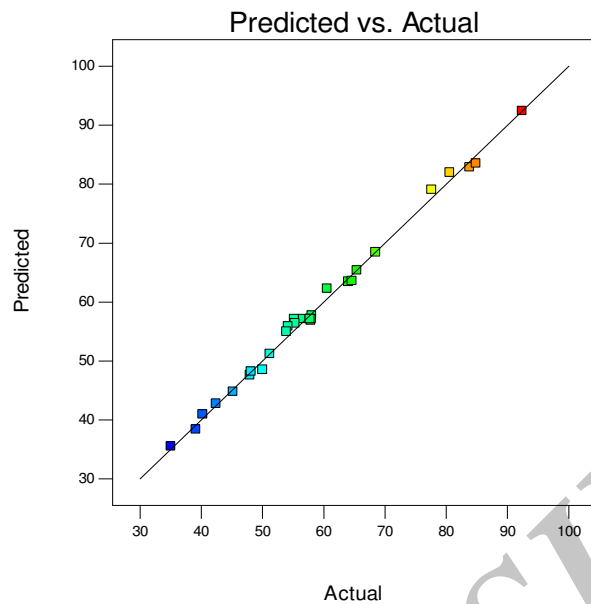


Figure 5- The observed reaction efficiency versus predicted reaction efficiency.

شکل ۵- بازده واکنش مشاهده شده به ازای بازده واکنش پیش بینی شده

جدول ۱- تحلیل واریانس مدل رگرسیونی درجه دوم برای درصد تبدیل بیو دیزل

Table 1- Analysis of variance of quadratic regression model for biodiesel conversion percent

| Source        | Sum of Squares | df | F Value | P-value<br>Prob > F |
|---------------|----------------|----|---------|---------------------|
| Model         | 5634.44        | 14 | 213.18  | < 0.0001            |
| A-Time        | 96.34          | 1  | 51.03   | < 0.0001            |
| B-Molar ratio | 370.05         | 1  | 196.01  | < 0.0001            |
| C-Microwave   | 1607.66        | 1  | 851.55  | < 0.0001            |
| D-Catalyst    | 11.08          | 1  | 5.87    | 0.0296              |
| AB            | 14.83          | 1  | 7.86    | 0.0141              |
| AC            | 15.12          | 1  | 8.01    | 0.0134              |
| AD            | 42.78          | 1  | 22.66   | 0.0003              |
| BC            | 0.23           | 1  | 0.12    | 0.7321              |
| BD            | 0.97           | 1  | 0.52    | 0.4842              |
| CD            | 12.11          | 1  | 6.41    | 0.0239              |
| $A^2$         | 27.81          | 1  | 14.73   | 0.0018              |
| $B^2$         | 901.52         | 1  | 477.52  | < 0.0001            |
| $C^2$         | 1842.10        | 1  | 975.73  | < 0.0001            |
| $D^2$         | 51.27          | 1  | 27.15   | 0.0001              |
| Residual      | 26.43          | 14 | 1.55    | 0.3567              |
| Lack of Fit   | 21.01          | 10 |         |                     |
| Pure Error    | 5.42           | 4  |         |                     |
| Cor Total     | 5660.88        | 28 |         |                     |

شکل ۶ نمودار آشفتگی<sup>۱</sup> را نشان می دهد که این نمودار مقایسه اثر همه پارامترها در یک نقطه خاص از فضای طراحی را امکان پذیر می کند و نقطه مرجع در نقطه میانی تمام عوامل، که با کد صفر مشخص شده است، قرار داده شده است. همان گونه

1. Perturbation plot

که در شکل مشاهده می‌شود، با افزایش زمان همزنی (A) تا نقطه مرکزی انتخاب شده، درصد تبدیل کاهش می‌یابد و سپس ثابت می‌شود و در انتهای مقدار کمی افزایش می‌یابد. با افزایش نسبت مولی (B)، درصد تبدیل در ابتداء افزایش می‌یابد، اما در نزدیکی نقطه مرکزی ثابت شده و سپس با شیب نسبتاً تنید کاهش می‌یابد. افزایش زمان ریزموج (C) تا بعد از نقطه مرکزی به‌شدت باعث کاهش درصد تبدیل بیودیزل می‌شود و پس از آن درصد تبدیل افزایش می‌یابد و چون شیب و انحنای آن تندر است، نشان می‌دهد که پاسخ به این پارامتر حساس است. همچنین، با افزایش غلظت کاتالیزور (D)، درصد تبدیل با شیب بسیار ملایمی به‌صورت اندک افزایش یافته و پس از نقطه مرکزی کاهش می‌یابد و از آنجا که به‌صورت خط نسبتاً صاف است، غیرحساس‌بودن پاسخ را به تغییر در آن عامل خاص نشان می‌دهد.

شکل ۷ نمودار سطح پاسخ و خطوط تراز را برای درصد تبدیل بیودیزل به‌ازای تغییر زمان همزنی و نسبت مولی نشان می‌دهد. همان‌گونه که در این شکل مشاهده می‌شود، با افزایش زمان واکنش، درصد تبدیل ابتداء کاهش می‌یابد؛ سپس، ثابت مانده و پس از نقطه اوج افزایش پیدا می‌کند. علت کاهش‌یافتن نمودار در بازه‌ای از زمان همزنی حل‌شدن گلیسیرین و متانول در هم‌دیگر است. زیرا هر دو قطبی‌اند و در نتیجه با بیشترشدن زمان همزنی، گلیسیرین بیشتری تولید شده که باعث می‌شود متانول بیشتری در آن حل شود و برگشت واکنش به‌سمت تولید متانول اتفاق بیفتد و دوباره متانول تولید شده و بازده کمی افزایش می‌یابد. همچنین، با افزایش نسبت مولی، درصد تبدیل بیودیزل افزایش می‌یابد و پس از رسیدن به نقطه اوج کاهش می‌یابد. در نسبت‌های مولی مختلف، درصدهای تبدیل در زمان‌های همزنی ۵ دقیقه و ۲۵ دقیقه تفاوتی با هم ندارند و این عدم تفاوت به‌خاطر برگشت واکنش ترانس‌استریفیکاسیون در زمان‌های بالاست. همچنین، با ثابت نگهداشتن غلظت کاتالیزور و زمان ریزموج در مقادیر متوسط، بازده واکنش در نسبت مولی نزدیک به ۶ به مقادیر بیشینه خود می‌رسد.

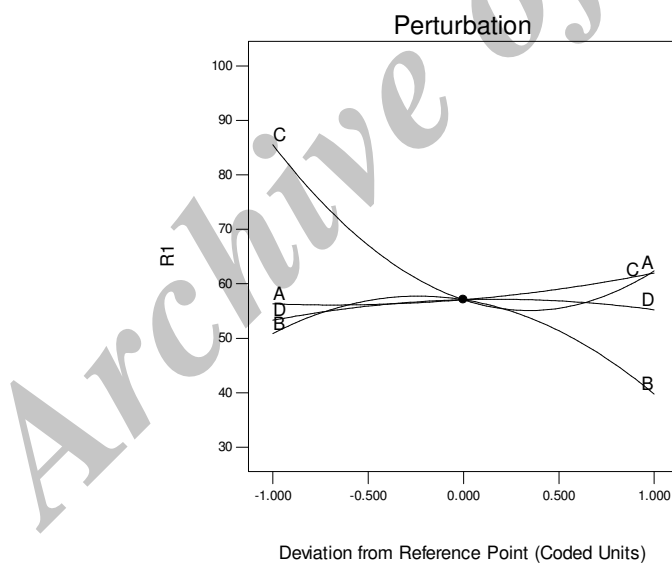


Figure 6- The perturbation plot of all the factors effect on the percent conversion of biodiesel

شکل ۶- نمودار آشفتگی تاثیر متغیرها روی درصد تبدیل بیودیزل

در تحقیقی، از کان و همکاران اثر ترکیبی زمان (۵ تا ۲۰ دقیقه) و نسبت مولی متانول به روغن میکروجلبک (۶ تا ۱۰) را مورد بررسی قرار دادند و نتیجه مشابهی گرفتند. نتایج نشان داده نسبت مولی متانول به روغن تأثیر معناداری بر روی درصد تبدیل بیودیزل دارد. با استفاده از نسبت مولی ۶ به ۱ متانول به روغن بعد از زمان ۲۰ دقیقه، درصد تبدیل ۹۶/۷ به‌دست آمد و با استفاده از نسبت مولی ۸ به ۱ متانول به روغن بعد از ۵ دقیقه زمان واکنش، درصد تبدیل ۹۶/۵۴ به‌دست آمد [۳۴].

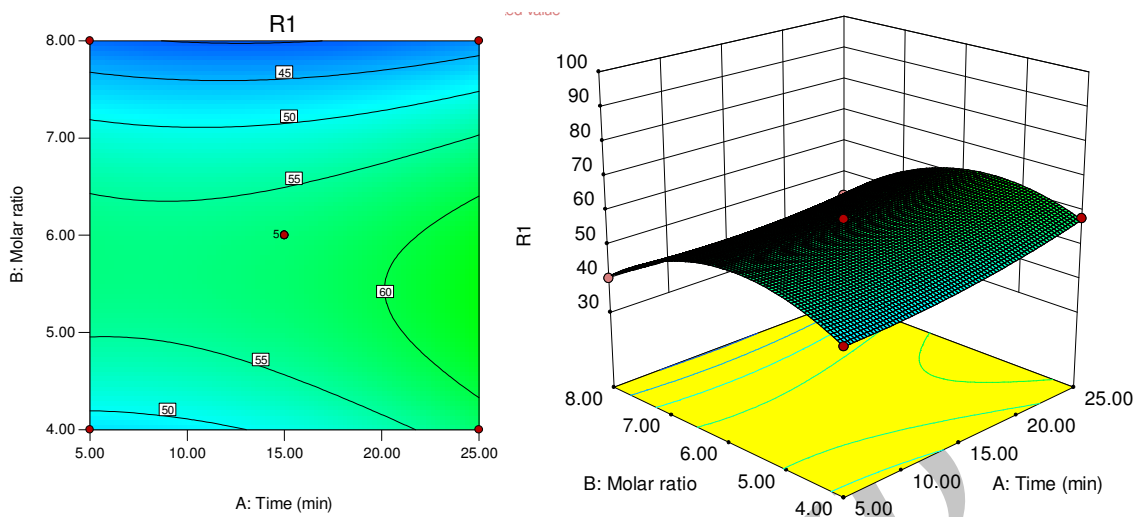


Figure 7- The response level and the alignment lines of biodiesel conversion percent for reaction time variations and molar ratio (microwave time and catalyst concentration adjusted to 1.5 and 1 respectively)

شکل ۷- سطح پاسخ و خطوط تراز درصد تبدیل بیو دیزل به ازای تغییرات زمان واکنش و نسبت مولی (زمان ریزموج و غلظت کاتالیزور به ترتیب روی ۱/۵ و ۱ تنظیم شده است)

شکل ۸ نمودار سطح پاسخ و خطوط تراز را برای درصد تبدیل بیو دیزل، به ازای تغییر در زمان ریزموج و زمان همزنی، نشان می دهد. همان گونه که در این شکل مشاهده می شود، با افزایش توانمندی زمان همزنی و زمان ریزموج، درصد تبدیل ابتدا کاهش یافته و سپس افزایش می یابد. درصد تولید بیو دیزل به ازای افزایش زمان ریزموج، صرف نظر از زمان همزنی، تا نقطه اوج خود با شبیه تندی کاهش می یابد و سپس افزایش می یابد و منحنی زمان ریزموج در زمان همزنی ۵ دقیقه نسبت به ۲۵ دقیقه زودتر به نقطه اوج می رسد و افزایش بیشتری پیدا می کند و در نتیجه درصد تولید بیو دیزل بالا می رود. زارع و همکاران (۲۰۱۳) در مورد زمان ریزموج هم نتیجه مشابهی به دست آورده اند. آن ها بالاترین بازده بیو دیزل (۸۹/۲۹ درصد) را با استفاده از تابش ریزموج در ۱ دقیقه در مقایسه با ۲ و ۳ دقیقه به دست آورده اند [۲۵].

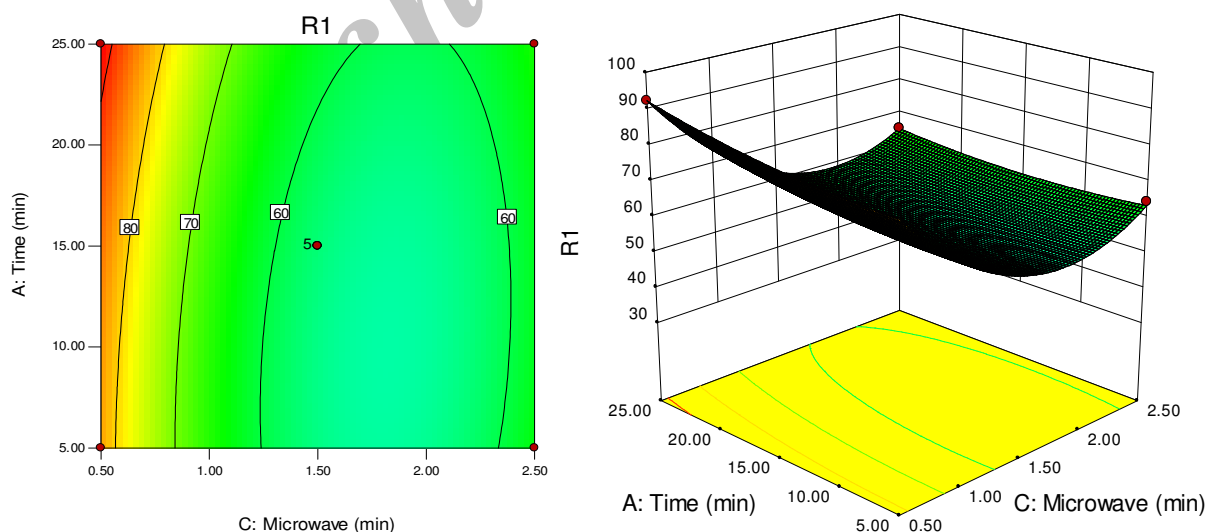


Figure 8- The response level and the alignment lines of the biodiesel conversion percentage for the reaction time and time of the microwave (molar ratio and catalyst concentration are adjusted to 6 and 1 respectively)

شکل ۸- سطح پاسخ و خطوط تراز درصد تبدیل بیو دیزل به ازای تغییرات زمان واکنش و زمان ریزموج (نسبت مولی و غلظت کاتالیزور به ترتیب روی ۶ و ۱ تنظیم شده اند).

با توجه به شکل ۹، درصد تبدیل بیودیزل بهازای افزایش زمان همزنی در غلظت کاتالیزور  $5/0$  درصد، ابتدا کاهش می‌باید و بعد از نقطه اوج شروع به افزایش می‌کند، اما در غلظت کاتالیزور  $1/5$  درصد سیر صعودی دارد. منحنی زمان مربوط به غلظت کاتالیزور  $1/5$  درصد نسبت به غلظت  $5/0$  درصد زودتر به نقطه اوج رسیده و همچنین افزایش بازده بیشتری را داشته است. همچنین، در این شکل، با افزایش غلظت کاتالیزور، منحنی غلظت بهازای زمان همزنی  $25$  دقیقه از ابتدا سیر صعودی داشته و بازده افزایش می‌باید، اما منحنی مربوط به زمان همزنی  $5$  دقیقه از ابتدا تا انتهای سیر نزولی دارد؛ یعنی افزایش غلظت کاتالیزور در زمان همزنی کم تأثیر منفی برای واکنش دارد که بهدلیل انجام واکنش صابونی شدن بین کاتالیزور و استرهای تولید شده است.

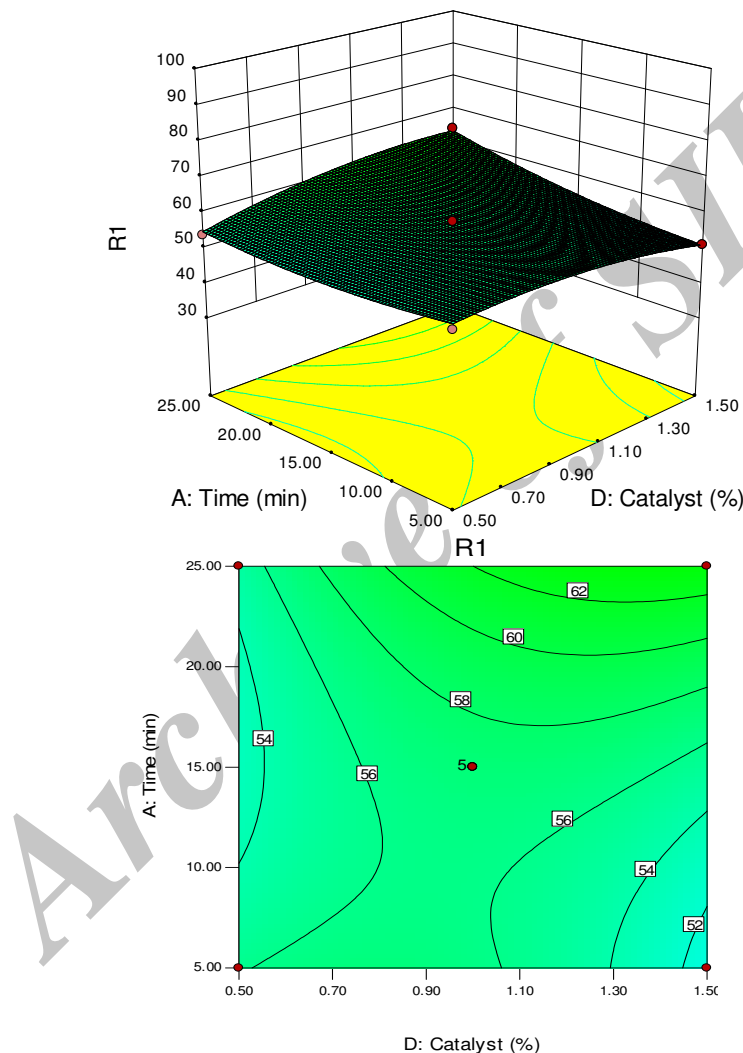


Figure 9- The level of response and the alignment lines of biodiesel conversion percent for reaction time variations and catalyst concentration (molar ratio and microwave time adjusted to 6 and 1.5, respectively)

شکل ۹- سطح پاسخ و خطوط تراز درصد تبدیل بیودیزل بهازای تغییرات زمان واکنش و غلظت کاتالیزور (نسبت مولی و زمان ریزموج به ترتیب روی  $6/0$  و  $1/5$  تنظیم شده‌اند)

پریامبودو و همکاران نیز در قسمتی از آزمایش خود دمای واکنش  $80$  درجه سلسیوس، زمان واکنش  $40$  ثانیه، نسبت مولی متانول به روغن  $6$  و شدت همزنی  $600$  دور در دقیقه را ثابت نگه داشتند و غلظت کاتالیزور ناهمگن  $SrO/Al_2O_3$  (درصد تا

۳/۲۵ درصد) بر روی بازده بیودیزل را بررسی کردند. نتایج نشان داد که بیشترین بازده بیودیزل ۹۹/۱ درصد با غلظت کاتالیزور ۱/۸۵ درصد بدست آمد و با اضافه کردن بیش از ۱/۸۵ درصد کاتالیزور درصد تبدیل به طور چشمگیری کاهش یافت که دلیل آن، همان طور که در بالا گفته شد، این است که مقدار اضافه کاتالیزور باعث می‌شود تری گلیسیرید بیشتر در واکنش صابونی شدن درگیر شود [۲۴].

برای بهینه‌سازی فرایند تولید بیودیزل باید میزان درصد تبدیل به بیشینه مقدار خود برسد. شرایط مرزی متغیرهای مستقل و متغیر وابسته به صورتی تعیین شد که پارامترهای مستقل در محدوده تعیین شده و پاسخ مربوطه با درجه اهمیت ۵ برای بیشینه شدن قرار داشته باشند. همان‌طور که در شکل ۱۰ دیده می‌شود، مقدار بهینه پیش‌بینی شده برای درصد تبدیل برابر ۹۲/۶۲ در غلظت کاتالیزور نزدیک ۱ درصد، نسبت مولی الکل به روغن ۵/۳۳، زمان ریزموج ۰/۵ دقیقه و زمان همزنی ۲۴/۱۴ حاصل شد.

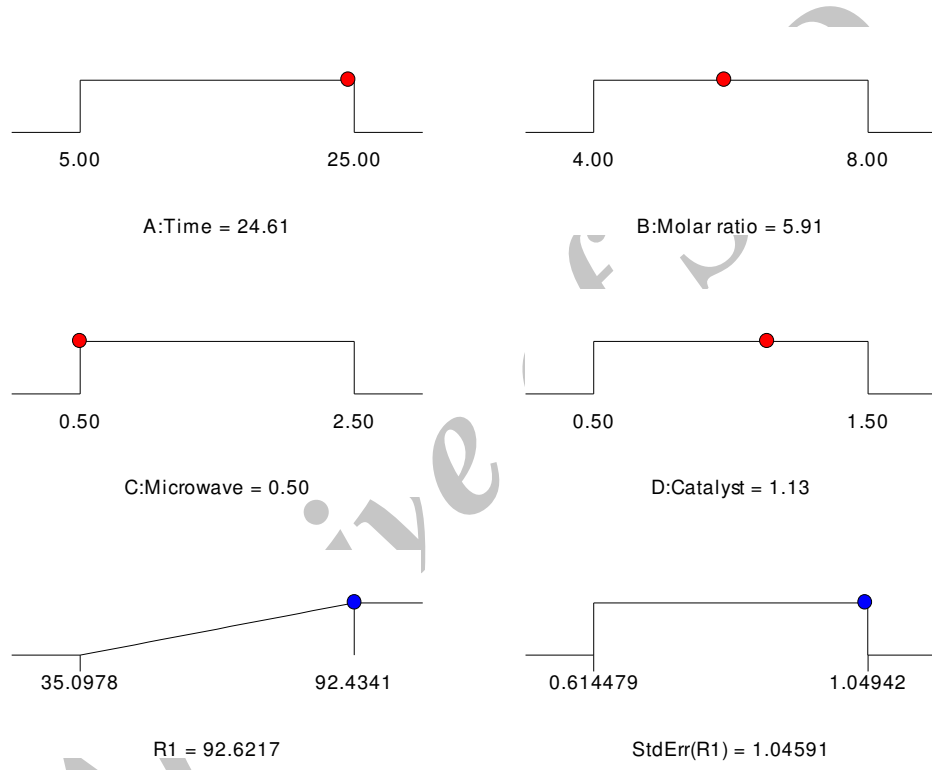


Figure 10- Optimization conditions for independent variables to maximize biodiesel conversion

شکل ۱۰- شرایط بهینه‌سازی متغیرهای مستقل برای بیشینه کردن درصد تبدیل بیودیزل

### نتیجه گیری

در این تحقیق، تولید سوخت تجدیدپذیر بیودیزل از روغن پسماند ماهی با کمک ترکیب ریزموج و همزن مکانیکی انجام گرفت. برای بررسی اثر پارامترهایی همچون نسبت مولی روغن به الکل، غلظت کاتالیزور، زمان همزنی و زمان تابش ریزموج با کمک طرح آزمایشی باکس بنکن در روش سطح پاسخ و با استفاده از نرم‌افزار Design Expert 10.0 آزمایش‌هایی ترتیب داده شد. نتایج به دست آمده نشان داد که همه متغیرهای مستقل و نیز برخی برهم‌کنش‌ها (اثر متقابل پارامترها) تاثیر معناداری روی بازده واکنش تولید بیودیزل دارند. مدل رگرسیونی بین متغیرهای مستقل و متغیر وابسته (درصد تبدیل بیودیزل) به صورت

معادله درجه ۲ با ضریب تبیین  $R^2=0.9953$  به دست آمد. از بین پارامترهای مورد بررسی زمان تابش ریزموج تاثیر بسیار زیادی نسبت به سایر پارامترها روی بازده واکنش از خود نشان داد، به طوری که با افزایش زمان ریزموج  $0/5$  به  $1/5$  دقیقه بازده واکنش با شیب بسیار تنیدی کاهش می‌یابد. همچنین، با افزایش زمان همزنی، درصد تبدیل ابتدا کاهش یافته و پس از نقطه میانی افزایش پیدا می‌کند. علت کاهش یافتن نمودار در بازه‌ای از زمان همزنی حل شدن گلیسیرین و مтанول در همدیگر است، زیرا هر دو قطبی بوده و در نتیجه، با بیشترشدن زمان همزنی، مтанول بیشتری در آن حل می‌شود. همچنین، در شرایط بهینه، بهارای تغییرات زمان همزنی و زمان ریزموج، با مقدار شاخص مطلوبیت  $1/0$ ، درصد تبدیل بیشینه  $92/62$  و خطای استاندارد  $10/4$  است. مقدار بهینه پیش‌بینی شده برای غلظت کاتالیزور  $1/13$  درصد، نسبت مولی الکل به روغن  $5/91$ ، زمان ریزموج  $0/5$  دقیقه و زمان واکنش  $24/61$  به دست آمد.

## منابع

1. N. Mrad, E. G. Varuvel, M. Tazerout and F. Aloui, "Effects of biofuel from fish oil industrial residue diesel blend in diesel engine," *Energy*, 44, 2012, pp. 955-963.
2. P. S. Nigam and A. Singh, "Production of liquid biofuels from renewable resources," *Progress in Energy and Combustion Science*, 2011, pp. 52-68.
3. L. Gao, G. Tang, G. Xiao and R. Wei, "Biodiesel from palm oil via loading KF/CA-AL hydrotalcite catalyst," *Bioenergy*, 34, No. 9, 2012, pp. 1283-1288.
4. Y. Li, F. Qiu, D. Yang, P. Sun and X. Li, "Transesterification of soybean oil and analysis of bioproduct," *Food and Bioproduct Processing*, 90, 2012, pp. 135-140.
5. P. Shao, X. Meng, J. He and P. Sun, "Analysis of immobilized candida rugose lipase catalyzed preparation of biodiesel from rapeseed soapstock," *Food and Bioproducts Processing*, 86, No. 4, 2008, pp. 283-289.
6. Y. Li, F. Qiu, D. Yang, X. Li and P. Sun, "Preparation, characterization an application of heterogeneous solid base catalyst for biodiesel production from soybean oil," *Biomass and Bioenergy*, 35, No.7, 2011, pp. 2787-2795.
7. D. Y. C. Leung, X. Wu and M. K. H. Leung, "A review on biodiesel production using catalyzed transesterification," *Applied Energy*, 87, No. 4, 2010, pp. 1083-1095.
8. A. Kleinova, I. Vailing, J. Labaj, J. Mikulec and J. Cvengros, "Vegetable oils and animal fats as alternative fuels for diesel engines with dual fuel operation," *Fuel Processing Technology*, 92, 2011, pp. 1980-1986.
9. P. Adewale, M. J. Dumont and M. Ngadi, "Recent trends of biodiesel production from animal fat wastes and associated production techniques," *Renewable and Sustainable Energy Reviews*, 45, 2015, pp. 574-588.
10. N. Martini and S. Schell, *Plant oil as fuels: Present state of future developments*, First Edition, Germany, Berlin, Springer, 1998.
11. P. Felizardo, M. J. N. Correia, I. Raposo, J. F. Mendes, R. Berkemeier and J. M. Bordado, "Production of biodiesel from waste frying oils," *Waste Management*, 26, 2006, pp. 487-494.
12. J. V. Gerpen, "Biodiesel processing and production," *Journal of Fuel Processing Technology*, 86, 2005, pp. 1097-1107.
13. S. K. Karmee and A. Chadha, "Preparation of biodiesel from crude oil of pongamia pinnata," *Journal of Bioresource Technology*, 96, 2005, pp. 1425-1429.
14. P. Rose and M. Norris, *Evaluate biodiesel made from wastes fats and oils*, Final Report, Agriculture Utilization Research Institute, Crookston, MN, USA, 2002.
15. G. Vicente, M. Martinez and J. Aracil, "Integrated biodiesel production: a comparison of different homogeneous catalysts systems," *Bioresource Technology*, 92, 2004, pp. 297-305.
16. H. Y. Shin, S. H. Lee, J. H. Ryu and S. Y. Bae, "Biodiesel production from waste lard using supercritical methanol," *The Journal of Supercritical Fluids*, 61, 2012, 134-138.
17. L. K. Ong, A. Kurniawan, A. C. Suwandi, C. X. Lin, X. S. Zhao and S. Ismadji, "Transesterification of leather tanning waste to biodiesel at supercritical condition: kinetics and thermodynamics studies," *The Journal of Supercritical Fluids*, 75, 2013, pp. 11-20.
18. N. Kapilan and B. Baykov, "A review on new methods used for the production of biodiesel," *Petroleum & Coal*, 56, No. 1, 2014, pp. 62-73.
19. G. Vicente, M. Martinez and J. Aracil, "Optimisation of integrated biodiesel production, Part I: A study of the biodiesel purity and yield," *Bioresource technology*, 98, No. 9, 2007, pp. 1724-1733.
20. A. K. Singh, S. D. Fernando and R. Hernandez, "Base-catalyzed fast transesterification of soybean oil using ultrasonication," *Energy Fuel*, 21, 2007, pp. 1161-1164.
21. D. M. Pranjali and B. Dorin, "Investigation of microwave dielectric properties of biodiesel components," *Bioresource Technology*, 127, 2013, pp. 1665-174.
22. L. M. Das and P. K. Sahoo, "Combustion analysis of jatropha, karanja and polanga based biodiesel as fuel in a diesel engine," *Fuel*, 88, 2008, pp. 994-999.

23. P. Patil, H. Reddy, T. Muppaneni, S. Ponnusamy, Y. Sun, P. Dailey, P. Cook, U. Patil and S. Deng, "Optimization of microwave-enhanced methanolysis of algal biomass to biodiesel under temperature controlled conditions," *Bioresource Technology*, 137, 2013, pp. 278-285.
24. R. Priambodo, T. C. Chen, M. C. Lu, A. Gedanken, J. D. Liao and Y. H. Huang, "Novel technology for biodiesel production from cooking and waste cooking oil by microwave irradiation," *Energy procedia*, 75, 2015, pp. 84-91.
25. M. Zare, B. Ghobadian, E. Fayyazi, GH. Najafi and B. Hosseinzadeh, "Microwave-assisted biodiesel fuel production from waste cooking oil," *International Journal of Agriculture and Crop Sciences*, 5, No. 12, 2013, pp. 1314-1317.
26. R. Yahyaei, B. Ghobadian and G. Najafi, "Waste fish oil biodiesel as a source of renewable fuel in Iran," *Renewable And Sustainable Energy Reviews*, 17, 2013, pp. 312-319.
27. F. Preto, F. Zhang, and J. Wang, "A study on using fish oil as an alternative fuel for conventional combustors," *Fuel*, 87, 2008, pp. 2258-2268.
28. Y. L Cherng, and J. Rong, "Fuel properties of biodiesel produced from the crude fish oil from the soap stock of marine fish," *Fuel Processing Technology*, 90, 2009, pp. 130-136.
29. M. J. Dias, M. C. M. Alvim-Ferraz and M. F. Almeida, "Production of biodiesel from acid waste lard," *Bioresource Technology*, 100, No. 24, 2009, pp. 6355-6361.
30. J. F. Costa, M. F. Almeida, M. C. M. Alvim-Ferraz and J. M. Dias, "Biodiesel production using oil from fish canning industry wastes," *Energy conversion and management*, 74, 2013, pp. 17-23.
31. C. S. Yogesh, S. Bhaskar, M. Devarapaga, L. Yun and Y. Zahira, "Fast Synthesis of High Quality Biodiesel from 'Waste Fish Oil' by Single Step Transesterification," *Biofuel Research Journal*, 3, 2014, pp. 78-80.
32. A. Demirbas, "Biodiesel production via non-catalytic SCF method and biodiesel fuel characteristics," *Energy Conversion and Management*, 47, No. 15, 2006, pp. 2271-2282.
33. A. Demirbas, *Biodiesel: a realistic fuel alternative for diesel engines*, Springer-Verlag London Limited, London, 2008.
34. N. Azcan, and O. Yilmaz, "Microwave irradiation application in biodiesel production from promising biodiesel feedstock microalgae," *Proceedings of the world congress on engineering and computer science*, WCECS 2012, October 24-26, 2012, San Francisco, USA.

## English Abstract

### Biodiesel production from fish-waste oil by combining mechanical stirring and microwave

Neda Yari<sup>1</sup>, Mostafa Mostafaei<sup>2\*</sup>, Leila Naderloo<sup>3</sup>, Seyed Mohammad Safieddin Ardebili<sup>4</sup>

1- Mechanics of Biosystems Engineering Department, Razi University, Kermanshah, Iran, yarineda527@yahoo.com

2- Mechanics of Biosystems Engineering Department, Razi University, Kermanshah, Iran, b.mostafaei@razi.ac.ir

3- Mechanics of Biosystems Engineering Department, Razi University, Kermanshah, Iran, lnaderloo@gmail.com

4- Department of Biosystems Engineering, Shahid Chamran University of Ahvaz, Ahvaz, Iran, m.safieddin@scu.ac.ir

\*Corresponding author

(Received: 2017.09.18, Received in revised form: 2017.11.05, Accepted: 2017.11.06)

The purpose of the present study is to produce biodiesel from fish-waste oil and methanol by combining mechanical stirring and microwave as a technique to accelerate this process. In this research, a microwave system was used including microwave source, stirrer, spiral tube and decanter. With the help of this system, the effects of multiple parameters on the conversion of fatty acid to methyl ester is investigated. These parameters include molar ratio of alcohol to oil (4 to 1, 6 to 1 and 8 to 1), catalyst concentration (0.5, 1 and 1.5 weight percent of oil), reaction time (5, 15 and 25 min) and microwave time (0.5, 1.5 and 2.5 min). Analyzing the obtained results is performed using the response surface method and Box Behnken layout in Design Expert 10.0 software. After analyzing the data and optimizing the biodiesel production reaction, the highest percentage of biodiesel conversion (92.62%) was found in the catalyst concentration of 1.13%, the reaction time of 24.61 minutes, the molar ratio of alcohol to oil of 5.55 and the microwave time of 0.5 minute. The regression model between independent variables and dependent variable (percent conversion) was obtained as a quadratic equation with  $R^2 = 0.9953$ .

**Keywords:** Biodiesel, Fish-waste oil, Transesterification, Microwave, Response surface method